

# ОПИСАНИЕ ПАРАМЕТРОВ СОСТОЯНИЯ ВЕЩЕСТВА В ЗАДАЧАХ МОДЕЛИРОВАНИЯ ДИНАМИКИ СИСТЕМЫ "КОНЦЕНТРИРОВАННЫЙ ПОТОК ЭНЕРГИИ – МЕТАЛЛ"

В.И. Бойко, Ю.В. Данейкин, К.В. Юшицин

Томский политехнический университет

E-mail: ukv@phtd.tpu.edu.ru

*Предложена модель описания параметров состояния металлов, испытывающих мощное энергетическое воздействие. Показана работоспособность модели в широком диапазоне изменения плотностей и температур. Фундаментальность физических принципов положенных в основу модели, позволила получить новые результаты при рассмотрении классических задач гидродинамики.*

Развитие систем генерации сильноточных электронных пучков, мощных импульсных пучков ионов, лазерного излучения создало уникальную возможность получения новых видов воздействия концентрированных потоков энергии (КПЭ) на материалы. Процессы, сопровождающие взаимодействие КПЭ с веществом, могут использоваться для решения большого числа научных и технологических задач, в том числе: получение сверхплотной плазмы инерциального термоядерного синтеза; модификация прочностных, триботехнических, антикоррозийных свойств металлов и сплавов; синтез новых композиционных материалов, включающих метастабильные фазы и соединения; получение тонких пленок и покрытий посредством осаждения абляционной плазмы; разрушение и резка твердых материалов. Детально области применения КПЭ рассмотрены в монографии [1] и обзоре [2], а также в библиографии к ним.

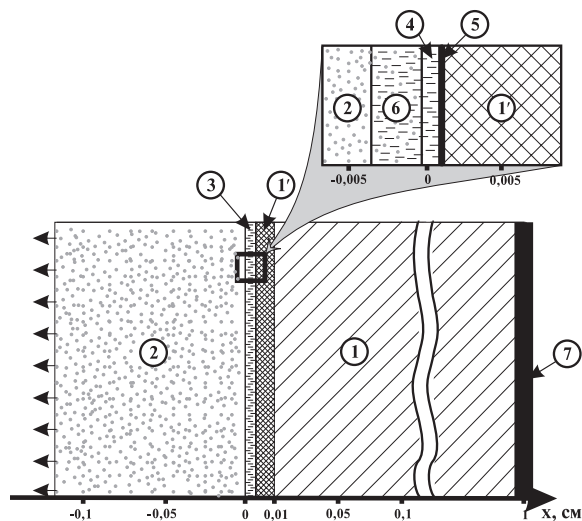
Общим признаком всех областей использования КПЭ является возбуждение необходимого процесса в веществе, что реализуется определенным выбором интенсивности и времени облучения, а также видом КПЭ и подбором оптимальных амплитудно-временных параметров импульса. Современные системы генерации КПЭ позволяют получать потоки в широком диапазоне интенсивности воздействия  $I=10^5 \dots 10^{13}$  Вт/см<sup>2</sup>. При длительности импульса  $10^{-8} \dots 10^{-6}$  с материал может испытывать воздействие с флюенсом  $10^{-1} \dots 10^3$  Дж/см<sup>2</sup>/на импульс. Такой широкий диапазон энергетического воздействия КПЭ определяет возможность генерации в объеме мишени большого числа разнородных физических явлений и, как следствие, многообразие результирующих эффектов, возникающих как при протекании отдельных процессов, так и при суперпозиции их совокупности.

Используя в качестве критерия возникновения фазовых превращений в объеме мишени при воздействии КПЭ, можно условно выделить три поддиапазона плотности мощности импульсного потока:

1. Для систем ионной имплантации и прямого нанесения на поверхность наноразмерных пленок ионным пучком используются низкоэнергетические пучки (до десятков кэВ) и соответствующими плотностями тока, обеспечивающими плотность мощности до  $10^6$  Вт/см<sup>2</sup> [1]. Выделившейся энергии, недостаточно для развития фазовых превращений, а модифицирующий эффект обусловлен формированием дефектной структуры в приповерхностной области, не превышающей глубины проникновения ионов (десятки нм).
2. Используемые в экспериментах по инерциальному термоядерному синтезу КПЭ предельно высоких плотностей мощности (более  $10^{11}$  Вт/см<sup>2</sup>) при взаимодействии с веществом вызывают объемную сублимацию материала мишени. Рассмотренные динамики поведения мишени проводится в газовых и плазменных приближениях [2].
3. При рассмотрении КПЭ промежуточных плотностей мощности  $10^7 \dots 10^{10}$  Вт/см<sup>2</sup> в области энергосвечения и прилегающих к ней слоях мишени возможно формирование локальных зон различного фазового состава, в том числе с образованием слоев бинарных состояний "жидкость-твердое тело" и "жидкость-пар".

Наиболее многопараметрической в диапазоне промежуточных плотностей мощности является система "КПЭ-металл". На рис. 1 представлено характерное распределение зон различного фазового состава в приповерхностной области металлической мишени на момент окончания импульса ионного тока ( $10^{-7}$  с) и флюенсом около 30 Дж/см<sup>2</sup>. Несмотря на относи-

тельно малые геометрические размеры зон фазовых превращений, эти процессы оказывают существенное влияние, как на динамику формирования и разлета абляционного факела, так и на генерацию и эволюцию импульса механических возмущений, распространяющегося вглубь мишени. Последний может иметь сложную структуру (являясь комбинацией упругих пластических и ударных волн) и определять модификацию свойств материала мишени далеко за пределами области теплового воздействия КПЭ (так называемый эффект дальнего действия [2]).



**Рис. 1.** Распределение зон различного фазового состава. Области: 1) твердотельная; 1') твердотельная, подверженная пластическим деформациям; 2) газоплазменного облака, расширяющегося с облучаемой поверхности; 3) переходных состояний; 4) расплава; 5) бинарного состояния "жидкость-твердое тело"; 6) бинарного состояния "жидкость-пар"; 7) возможной модификации на тыльной поверхности при отражении импульса механической нагрузки

Динамика процессов возбуждаемых КПЭ промежуточных плотностей мощности в настоящее время является наименее исследованной. Изучение всей совокупности явлений, сопровождающих такое воздействие, представляет собой актуальную задачу не только технологического, но и фундаментального значения. Применение методов механики сплошной среды позволяет рассмотреть поведение всей системы "КПЭ-металл" в целом. При этом, важное значение приобретает описание параметров состояния в широком диапазоне фазовой диаграммы. Выбор корректного широкодиапазонного уравнения состояния, является необходимым для замыкания системы уравнений Навье-Стокса. Кроме того, для формирования законченной модели упруго-пластической среды необходимо рассмотрение полного напряженно-деформированного состояния металла, его зарядового состояния и детализации описания термодинамических параметров на границах раздела сред и фаз.

#### Напряженно-деформированное состояние металла

Описание динамики сплошной среды подразумевает формулирование законов сохранения с уче-

том пространственно неоднородного поля механических напряжений, образованного интенсивным подводом энергии и деформацией вещества возникающей при движении среды. В каждой точке сплошной среды напряженное состояние характеризуется симметричным тензором напряжений, который можно разделить на две составляющие: шаровую часть и девиатор тензора напряжений

$$T_H = \begin{vmatrix} \sigma_x & \tau_{xy} & \tau_{xz} \\ \tau_{yx} & \sigma_y & \tau_{yz} \\ \tau_{zx} & \tau_{zy} & \sigma_z \end{vmatrix} = \begin{vmatrix} -p & 0 & 0 \\ 0 & -p & 0 \\ 0 & 0 & -p \end{vmatrix} + \begin{vmatrix} \sigma_x + p & \tau_{xy} & \tau_{xz} \\ \tau_{yx} & \sigma_y + p & \tau_{yz} \\ \tau_{zx} & \tau_{zy} & \sigma_z + p \end{vmatrix} = T_H^0 + D_H,$$

где  $\sigma_x, \sigma_y, \sigma_z$  – нормальные,  $\tau_{xy}=\tau_{yx}, \tau_{xz}=\tau_{zx}, \tau_{yz}=\tau_{zy}$  – касательные напряжения.

Шаровая часть тензора описывает гидростатическое давление  $p$ , которое изотропно. Девиатор тензора напряжений характеризует анизотропию напряженно деформированного состояния в области упругих деформаций, связанных с составляющими тензора напряжений законом Гука.

При  $W < 10^6$  Вт/см<sup>2</sup> изменение давления в области термализации пучка мало по сравнению с возникающими термическими напряжениями. В пренебрежении гидростатическим давлением система уравнений Навье-Стокса преобразуется в волновое уравнение. При  $W > 10^{11}$  Вт/см<sup>2</sup> прочностные свойства металла не являются определяющими, пренебрегая девиатором тензора напряжений переходим к газодинамическому описанию динамики параметров мишени. В промежуточном диапазоне плотностей мощности необходимо учитывать обе составляющие тензора напряжений. При этом необходимо описать переход металла из упругого в пластическое состояние, например по условию текучести Мизеса ( $S_1^2 + S_2^2 + S_3^2 \leq (2/3)\sigma_T^2$ , здесь  $S_i$  – главные компоненты девиатора тензора напряжений;  $\sigma_T$  – динамический предел текучести). Это позволит получить правильную интерпретацию свойств упругопластической среды вблизи состояния текучести, а именно получить разрыв первой производной в критической точке на адиабатах Пуассона и Югонио.

При описании термодинамических функций в широком диапазоне фазовой диаграммы, необходимо учитывать наличие сил межатомного взаимодействия и их преодоление при расширении вещества, что в значительной степени определяет закономерности фазовых превращений. Соответственно давление разделим на две части: упругую составляющую  $p_s$ , связанную исключительно с межатомным взаимодействием, зависящим от расстояния между атомами; тепловую составляющую  $p_T$ . В свою очередь тепловую составляющую будем разделять на слагаемые, соответствующие тепловому движению ионов  $p_i$  и тепловому возбуждению электронов  $p_e$  [3],

$$p(\rho, T) = p_s(\rho) + p_r(\rho, T) = p_s(\rho) + p_i(\rho, T) + p_e(\rho, T),$$

$$\varepsilon(\rho, T) = \varepsilon_s(\rho) + \varepsilon_r(\rho, T) = \varepsilon_s(\rho) + \varepsilon_i(\rho, T) + \varepsilon_e(\rho, T).$$

Функциональные зависимости составляющих давления и соответствующих составляющих внутренней энергии от плотности и температуры определяются уравнением состояния, выбор которого будет определяться следующими критериями: применимость для различных металлов и сплавов; использование только известных величин; минимум числа подгоночных параметров; термодинамическая совместимость величин  $p$  и  $\varepsilon$ .

### Уравнение состояния металла

Ионные составляющие давления и удельной внутренней энергии определяются тепловым движением ионов, которое является классическим. В различных агрегатных состояниях связь внутренней энергии с температурой определяется числом степеней свободы ионов, соответственно для:

$$\left. \begin{array}{l} \text{твёрдого тела} \quad \varepsilon_i = 3n_i kT \\ \text{идеального газа} \quad \varepsilon_i = (3/2)n_i kT \end{array} \right\} p_i = \rho^2 \left( \frac{\partial \varepsilon_i}{\partial \rho} \right)_s,$$

где  $n_i = N_i/M$  – концентрация ионов. Для выделения диапазона переходного состояния от твёрдого тела к идеальному газу использовался параметр  $\chi = (T_m/T)^{1/3}$ , где  $T_m$  – температура Линдемана [4, 5]. В интервале  $10^{-4} \leq \chi \leq 1$  обеспечивалась гладкая сшивка  $\varepsilon_i(\rho, T)$  с сохранением непрерывности первой и второй производной на границах диапазона.

*Тепловое возбуждение электронов.* Разделив тепловые компоненты давления и внутренней энергии на ионную и электронную составляющие, мы предположили, что металл представляет собой свободный электронный газ, целиком заполняющий непрерывное пространство атомных ячеек, в центрах которых находятся ионы. При этом термодинамические функции аддитивны, а соответственно, электронный газ рассматривается независимо от ионной компоненты.

При  $T=0$  К электронный газ полностью вырожден. Электроны занимают самые низкие энергетические состояния, а их кинетическая энергия не превышает граничной энергии Ферми  $\varepsilon_F$ . Однако, эта кинетическая энергия включена в упругую энергию вещества, которая не имеет отношения к тепловой энергии [3]. При повышении температуры электроны частично переходят в более высокие энергетические состояния, что приводит к росту тепловой энергии электронного газа. В пределе высоких температур электроны перестают подчиняться статистике Ферми-Дирака, а электронный газ становится идеальным. Следуя авторам работы [4], введем параметр

$$Y(n_e, T) = \frac{3n_e kT}{2\varepsilon_F(n_e)},$$

где  $n_e(\rho, T) = Z_m(\rho, T)n_i(\rho)$  – концентрация электронов,  $Z_m$  – средняя степень ионизации (количество электронов, приходящихся на одну атомную ячейку). Асимптотики параметра  $Y$  определяют пре-

дельные состояния электронного газа. Кроме того, важные термодинамические величины, такие как удельная свободная и внутренняя энергия могут быть выражены как функции только от  $n_e$  и  $Y$

$$F_e = -\frac{\varepsilon_F(n_e)}{\rho} \Theta(Y), \quad \varepsilon_e = -\frac{\varepsilon_F(n_e)}{\rho} \Psi(Y),$$

$$\text{где } \Theta(Y) = \frac{2}{3} Y \left[ \alpha + \frac{2}{3} \frac{F_{3/2}(\alpha)}{F_{1/2}(\alpha)} \right]; \quad \Psi(Y) = \frac{2}{3} Y \frac{F_{3/2}(\alpha)}{F_{1/2}(\alpha)}; \quad \alpha = -\frac{\mu}{kT};$$

$\mu$  – химический потенциал электронного газа;  $F_x(\alpha)$  – интегралы Ферми-Дирака. Параметр  $\alpha$  неявно зависит от  $Y$  через уравнение

$$\left( \frac{2}{5} Y \right)^{3/2} F_{1/2}(\alpha) = \frac{2}{3}.$$

Асимптотика  $Y \rightarrow \infty$  (идеальный газ) дает  $\Psi(Y) \sim \Theta(Y) \sim Y$ , при  $Y \rightarrow 0$  получим  $\Psi(Y) \sim -\Theta(Y) \sim -1$ . В последнем случае для полностью вырожденного электронного газа  $F_e \rightarrow \varepsilon_s(\rho)$ , тогда для свободной энергии электронного газа окончательно получаем

$$F_e = \varepsilon_s(\rho) - \frac{\varepsilon_F(n_e)}{\rho} [\Theta(Y) + 1].$$

Электронное давление и удельную тепловую энергию находим по свободной энергии из известных термодинамических соотношений

$$\varepsilon_e = F_e - T \left( \frac{\partial F_e}{\partial T} \right)_p, \quad p_e = \rho^2 \left( \frac{\partial F_e}{\partial \rho} \right)_T.$$

*Упругие составляющие* давления и удельной внутренней энергии зависят только от плотности и равны полному давлению и удельной внутренней энергии при абсолютном нуле температуры. В этом случае равновесное состояние твёрдого тела характеризуется взаимной компенсацией межатомных сил притяжения и отталкивания, а соответственно минимуму потенциальной упругой энергии, который можно принять за начало отсчета  $\varepsilon_s=0$  при этом плотность вещества  $\rho_0, p=0, T=0$ .

При расширении вещества преобладают силы притяжения. Силы взаимодействия быстро убывают при увеличении расстояния между атомами, поэтому потенциальная энергия (упругая составляющая) возрастая, асимптотически стремится к постоянному значению равному энергии сублимации. При сжатии вещества преобладающую роль играют силы отталкивания, которые резко возрастают по мере сближения атомов, соответственно,  $\varepsilon_s$  быстро увеличивается. Упругая составляющая давления связана с упругой составляющей энергии соотношением

$$p_s = \rho^2 \frac{\partial \varepsilon_s}{\partial \rho}.$$

В литературе, например [4–7], рассмотрены различные методики расчета упругих компонент. При выборе таковой значимым является адекватное описание параметров состояния вблизи тройной точки. Именно в ее окрестности происходит разрыв межатомных связей, тепловая и упругая

составляющие давления (последняя отрицательна) примерно на порядок превышают результирующее. Для описания параметров состояния, использованного нами, приемлемые результаты в области тройной точки дает интерполяционная зависимость, предложенная в [7]

$$\varepsilon_s(\rho) = \begin{cases} \frac{B_0}{\rho_0} \frac{3}{\alpha - 4} \left[ \frac{3}{\alpha} e^{\alpha(1-x^{1/3})} - \frac{1}{x} + \frac{\alpha - 3}{\alpha} \right], \\ \frac{B_0}{\rho_0} \frac{9}{2\mu^2} \left[ e^{\mu(1-x^{1/3})} - 1 \right]^2 \end{cases},$$

где  $x = \rho_0/\rho$ ;  $\alpha, \mu$  – параметры формулы;  $B_0$  – модуль объемной адиабатической сжимаемости.

**Ионизационный состав** вещества в широком диапазоне фазовой диаграммы необходим для расчета концентрации электронов не только при определении электронных составляющих термодинамических функций, но и при описании процесса релаксации энергии КПЭ во внутреннюю энергию среды. В металле даже при  $T=0$  всегда присутствует некоторое количество свободных электронов. Во многих случаях для расчетов свойств разряженной многократно ионизованной плазмы хорошим приближением является модель "среднего иона" [3]. В [8] модель "среднего иона" обобщена на случай больших плотностей и температур, в том числе для твердого тела. С учетом холодной ионизации вещества уравнение ионизации имеет вид

$$\mu_{ef}(Z_m/V, T) + I(Z_m) = b(Z/V)^\beta (1 + \mu T^2 V^\sigma)^{-1},$$

где  $\mu_{ef}(Z_m/V, T)$  – химический потенциал идеального газа Ферми;  $V$  – объем атомной ячейки;  $I(Z_m)$  – сплаженная интерполяция дискретных потенциалов ионизации;  $b, \beta, \mu, \sigma$  – подгоночные параметры.

При расчетах электронных компонент термодинамических функций по ионизационному составу, полученному по данной методике, как и в [8], получено существенное расхождение в значении давления в окрестности тройной точки. Это обусловлено тем, что влияние ионизации давлением учитывается дважды, один раз при определении электронных составляющих давления и внутренней энергии в концентрации электронов и второй раз косвенно при определении упругих составляющих. Поэтому для расчета параметров состояния использовалось эмпирическое соотношение, предложенное в [4]

$$Z_m = Z \left[ 1 + \frac{T_0}{T} \left( \frac{\rho}{\rho_0} \right)^{0,05} \right]^{-1},$$

где  $T_0 = 4,3Z$ , эВ;  $\rho_0 = A/10$ , г/см<sup>3</sup>;  $A, Z$  – массовое число и заряд ядра атома соответственно. При определении параметров локальной области энерговыделения ионизационный состав определялся по обобщенной модели "среднего иона".

#### Сравнение и обсуждение результатов расчета

Результаты расчетов термодинамических параметров по предложенной модели сравнивались с

расчетными и экспериментальными данными, представленными в [4–11] в различных диапазонах плотности и температуры для различных металлов. На рис. 2 сопоставлены результаты расчетов изотерм меди, а также кривой плавления и линии равновесия жидкость пар с аналогичными данными из [9]. Кроме того, указаны экспериментальные параметры критической точки из обзора [11].

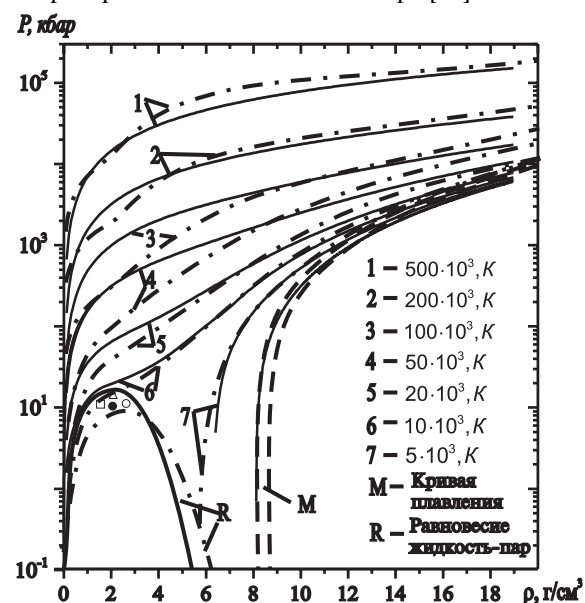
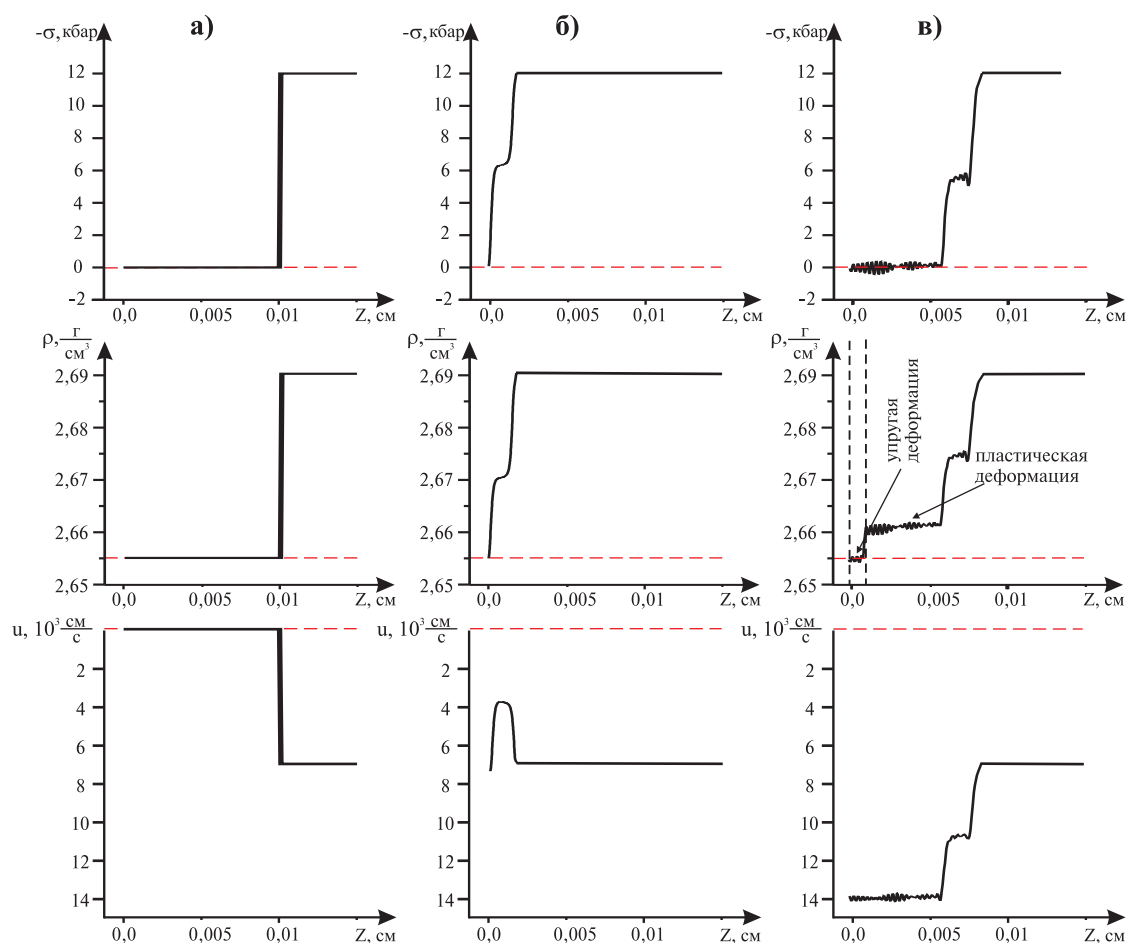


Рис. 2. Фазовая (P–ρ) диаграмма меди. Сплошные линии – предложенная модель; пунктир – данные из [9]

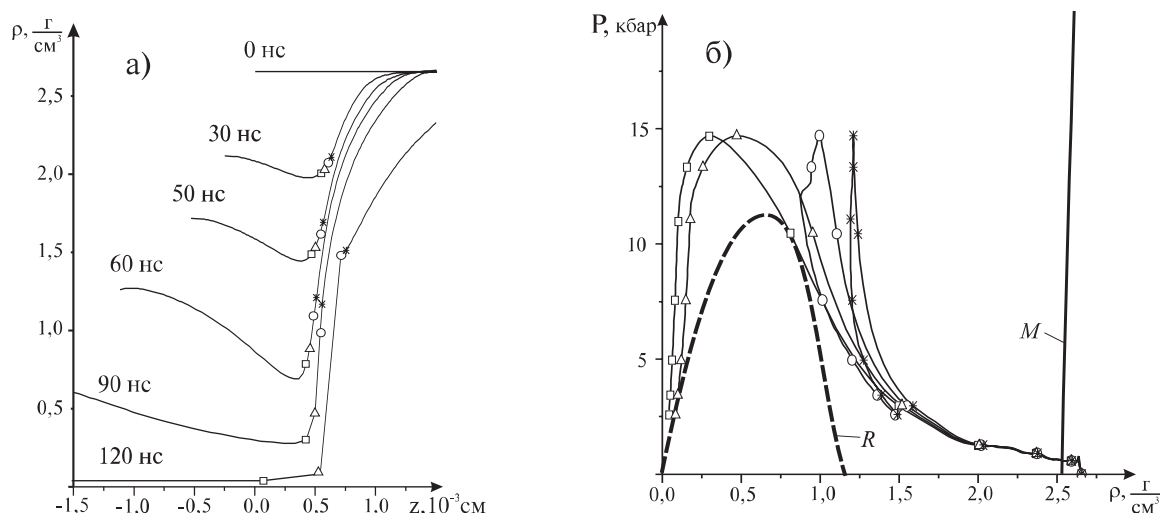
При исследовании закономерностей процессов сопровождающих воздействие импульсных КПЭ на металлы, значительный интерес представляет корректное описание поведения вещества при переходах через "критические" состояния. В частности, переход металла из упругого в пластическое состояние, формирование внутренних границ областей фазовых переходов. На рис. 3 и 4 представлены результаты расчетов динамики параметров алюминиевой мишени, полученные в рамках лагранжовой модели, реализующей схему Уилкинса [12], с детализацией начальных и граничных условий [13] и предложенным в настоящей работе описанием параметров состояния.

Рис. 3 иллюстрирует протекание ударно-волновых процессов в металле (алюминий). Рассмотрена модельная задача прохождения ударной волны (УВ) в упругопластической среде и ее отражение от свободной границы. Закономерности этих процессов известны [3]. При прохождении по объему металла УВ с интенсивностью, превышающей предел текучести, наблюдается расщепление упругой и пластической волн, обусловленное разрывом первой производной на адиабате Погоню в точке текучести и соответствующим изменением скорости звука. Выход УВ на свободную границу сопровождается разгрузкой вещества до нулевого давления и удвоением скорости вещества за фронтом отраженной волны.

При моделировании прохождения произвольной УВ (рис. 3, а) по объему металла наблюдается



**Рис. 3.** Результаты моделирования выхода ударной волны на свободную границу в алюминии. Поля:  $\sigma$  — полного напряжения;  $\rho$  — плотности;  $u$  — скорости



**Рис. 4.** Формирование внутренней границы раздела фаз при воздействии на алюминиевую мишень мощного ионного пучка: а) динамика поля плотности в области термализации протонного пучка; б) фазовые траектории лагранжевых ячеек, расположенных на границе парогазовой и конденсированной фаз ( $M$  — кривая плавления,  $R$  — бинадаль)

Примечание: символами  $O$ ,  $\Delta$ ,  $\square$ ,  $*$  обозначены: а) положения лагранжевых ячеек и б) их фазовое состояние в различные моменты времени

ожидаемая комбинация упругой и пластической волн (рис. 3, б), при выходе которых на свободную границу впервые получен следующий результат.

Сначала свободной границы достигает упругая волна, которая после отражения распространяясь вглубь мишени, встречается с пластической. Су-

перпозиция встречных пластической и отраженной упругой волн определяет формирование в пограничной области слоя вещества не подверженного пластической деформации (рис. 3, *в*). На рис. 3 показано полное давление, равное сумме гидростатического давления и осевого компонента дивергента тензора напряжений, и, соответственно, равное полному напряжению, взятому с обратным знаком. Полное давление равно нулю за фронтом отраженной пластической волны, а значение скорости соответствует правилу удвоения. Необходимо отметить, что в распределении плотности вещества за фронтом отраженных волн, наблюдается однозначное разделение областей упругой и пластической деформации. В области пластического течения формируется остаточная деформация [6].

Для моделирования процесса испарения металла при мощном энергетическом воздействии особое внимание уделяется вопросу о границах раздела фаз. Например, в [5], в качестве такой границы выбрана бинадаль и предложены специальные граничные условия для определения значений удельного объема (плотности) и равновесного давления. На рис. 4, *а* представлена динамика поля плотности в области локального энерговыделения, обусловленного термализацией мощного протонного пучка (амплитудно-временные параметры пучка соответствуют [14], при  $U_{\max}=660$  кэВ,  $j_{\max}=1,5$  кА/см<sup>2</sup>,  $\tau=120$  нс) в алюминиевой мишени. К моменту окончания импульса ионного тока на глубине порядка 6 мкм формируется локальная граница между парогазовой и конденсированной фазами, характеризующаяся разрывом в функции  $\rho(z)$ . На рис. 4, *б*, на фазовой диаграмме

представлены траектории соседних лагранжевых ячеек, расположенных в окрестности разрыва. Видно, что область бинадали является внутренней границей, образовавшейся при разрыве межатомных связей на фазовом переходе жидкость-пар. Конденсированное вещество в окрестности новой границы начинает двигаться вглубь мишени и испытывает разгрузку. Оторвавшееся парогазовое облако испытывает адиабатическое расширение, подчиняющееся законам газовой динамики.

### Заключение

Предложенная модель адекватно и термодинамически полно описывает параметры состояния металла в широкой области фазовой диаграммы. Приведенное сравнение результатов показывает приемлемую точность расчетов для задач моделирования динамики сплошной среды. Корректное описание напряженно-деформированного состояния позволило получить новые результаты. В частности, при рассмотрении задачи о выходе последовательности упругой и пластической волн на свободную границу обнаружено формирование в пограничном слое области вещества, не подверженной пластической деформации. Использование модели в расчетах динамики системы "КПЭ-металл" дает возможность описания процессов фазовых превращений, в том числе однозначного определения границ областей различного фазового состава. Последнее не требует постановки специальных условий на внутренних границах раздела фаз и является свойством разработанной модели.

### СПИСОК ЛИТЕРАТУРЫ

1. Бойко В.И., Скворцов В.А., Фортов В.Е., Шаманин И.В. Взаимодействие импульсных пучков заряженных частиц с веществом. — М.: Физматлит, 2003. — 288 с.
2. Бойко В.И., Валяев А.Н., Погребняк А.Д. Модификация металлических материалов импульсными мощными пучками частиц // Успехи физических наук. — 1999. — Т. 169. — № 11. — С. 1243—1271.
3. Зельдович Я.Б., Райзер Ю.П. Физика ударных волн и высокотемпературных гидродинамических явлений. — М.: Наука, 1968. — 686 с.
4. Atzeni S., Caruso A., Pais V.A. Model equation-of-state for any material in conditions relevant to ICF and to stellar interiors // Laser and Particle Beams. — 1986. — V. 4. — Parts 3&4. — P. 393—403.
5. Бурцев В.А., Калинин Н.В., Лучинский А.В. Электрический взрыв проводников и его применение в электрофизических установках. — М.: Энергоатомиздат, 1990. — 289 с.
6. Кянель Г.И., Разоренов С.В., Уткин А.В., Фортов В.Е. Ударно-волновые явления в конденсированных средах. — М.: Янус-К, 1996. — 408 с.
7. Жуков А.В. Интерполяционное широкодиапазонное уравнение состояния металлов в переменных: давление, плотность, энергия / В кн.: Механика деформируемого твердого тела. — Томск: Изд-во Том. ун-та, 1987. — С. 70—79.
8. Баско М.М. Уравнение состояния металлов в приближении среднего иона // Теплофизика высоких температур. — 1985. — Т. 23. — № 3. — С. 483—491.
9. Альтшулер Л.В., Бушман А.В., Фортов В.Е. и др. Изэнтропы разгрузки и уравнение состояния металлов при высоких плотностях энергии // ЖЭТФ. — 1980. — Т. 78. — № 2. — С. 741—760.
10. Замышляев Б.В., Ступицкий Е.Л., Гузь А.Г., Жуков В.Н. Состав и термодинамические функции плазмы: Справочник. — М.: Энергоатомиздат, 1984. — 144 с.
11. Басин А.С. Основные параметры критической точки металлов с плотноупакованной кристаллической структурой // Химия и компьютерное моделирование. Бутлеровские сообщения. — 2002. — Приложение к выпуску № 10. — С. 103—108.
12. Уилкинс М.Л. Расчет упруго-пластических течений / В сб.: Вычислительные методы в гидродинамике. — М.: Мир, 1964. — С. 212—263.
13. Бойко В.И., Данейкин Ю.В., Юшицин К.В. Численное описание процессов генерации волнового возмущения, обусловленного воздействием на металлическую мишень импульсного энергетического потока // Вопросы атомной науки и техники, серия "Физика радиационных повреждений и радиационное материаловедение". — 2003. — № 3. — С. 133—137.
14. Бойко В.И., Быстрицкий В.М., Волков С.Н. и др. Генерация и фокусировка мощного ионного пучка в магнитоизолированном диоде // Физика плазмы. — 1989. — Т. 15. — Вып. 11. — С. 1337—1341.